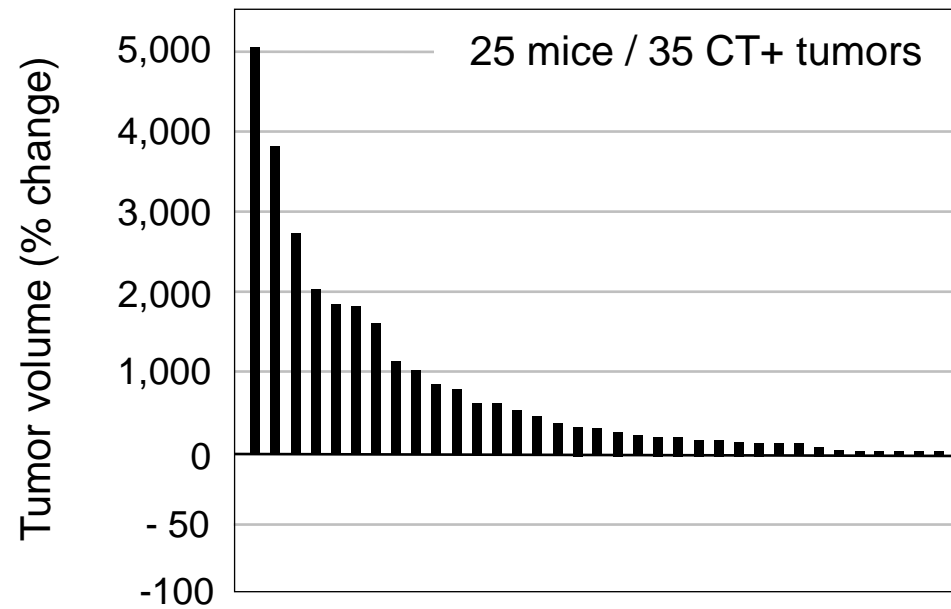
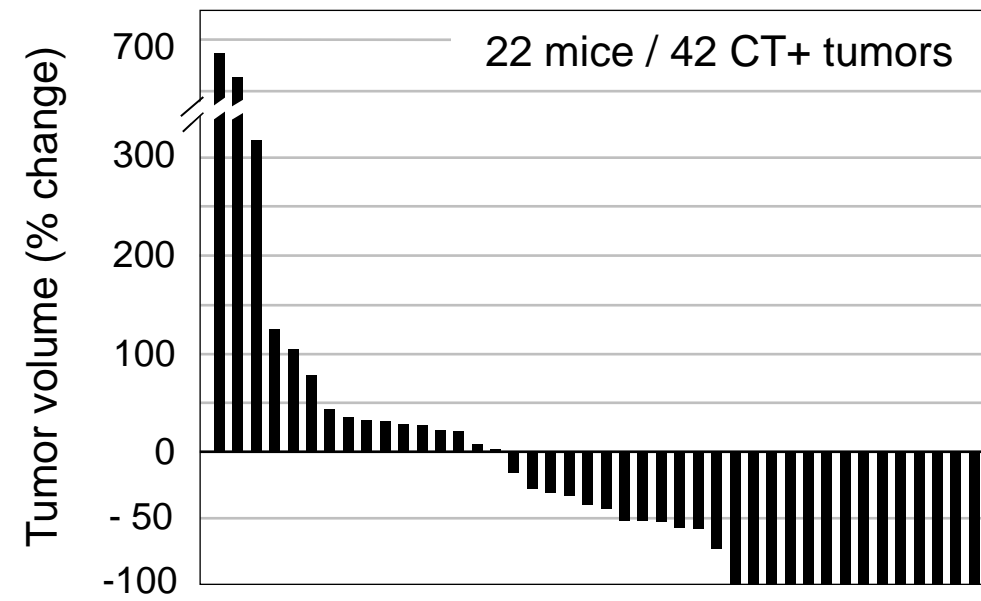
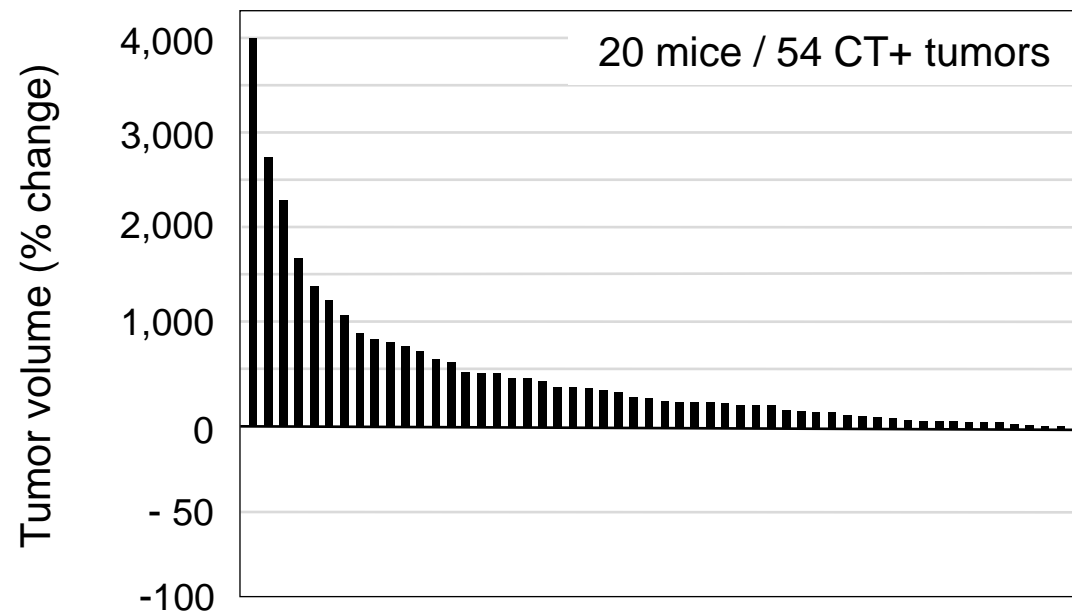
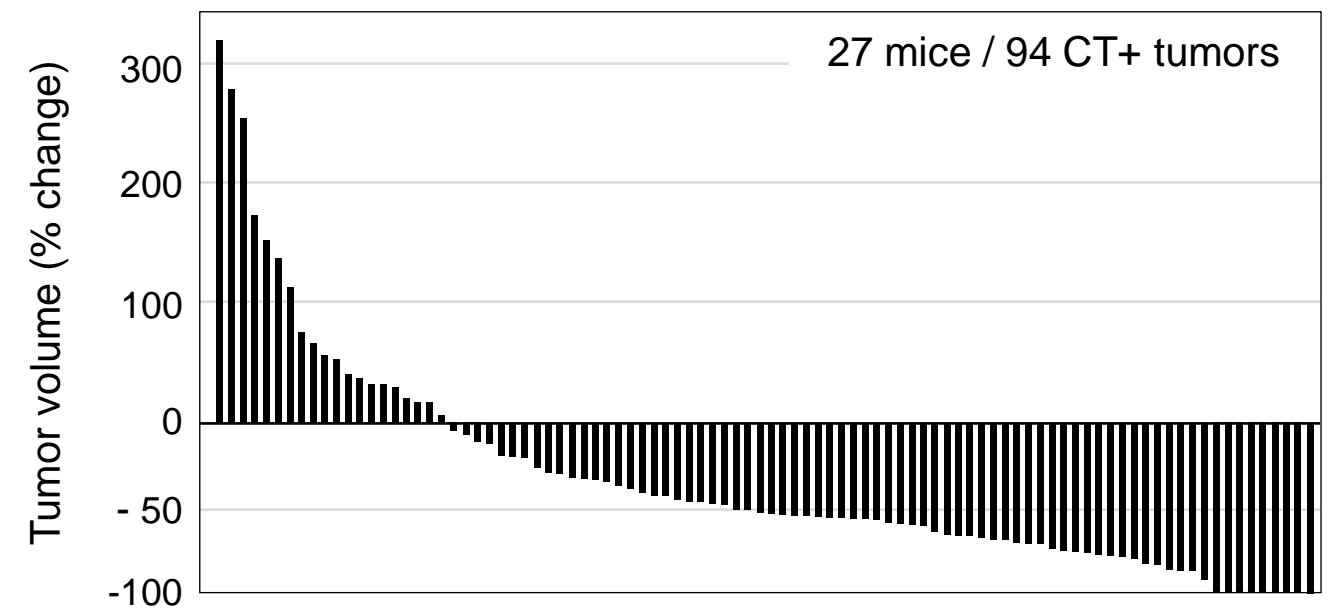
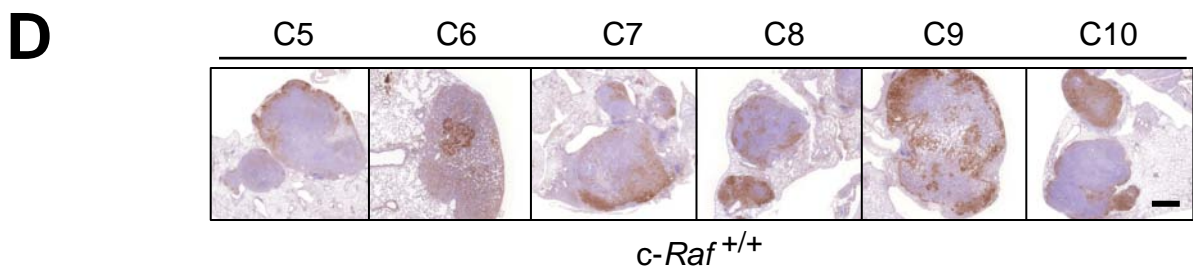
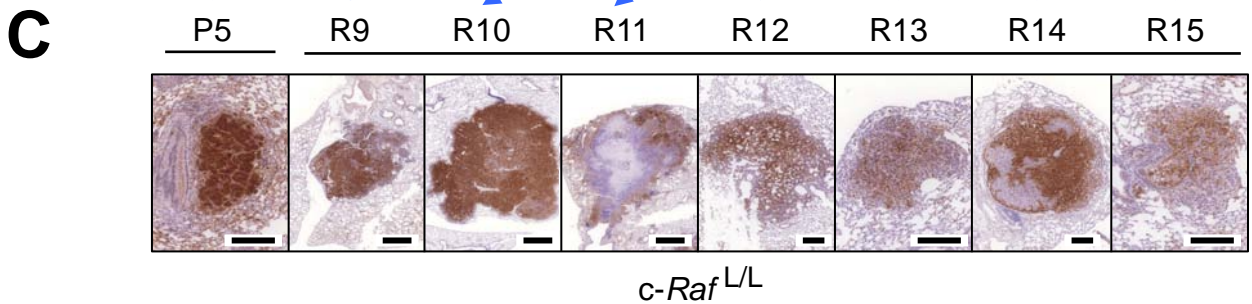
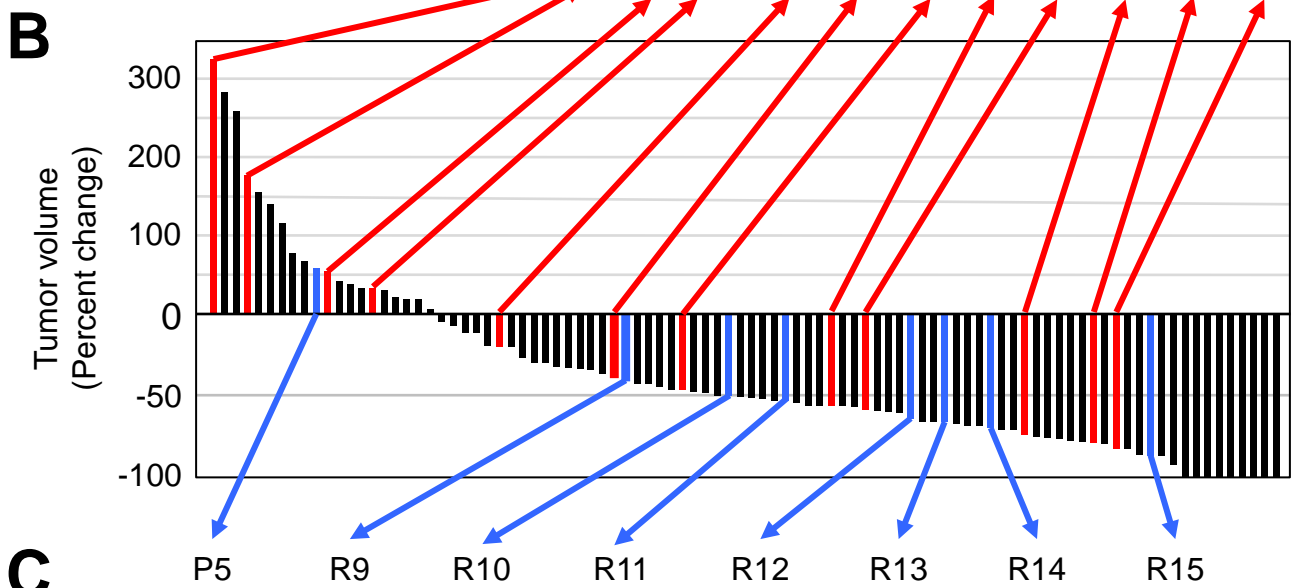
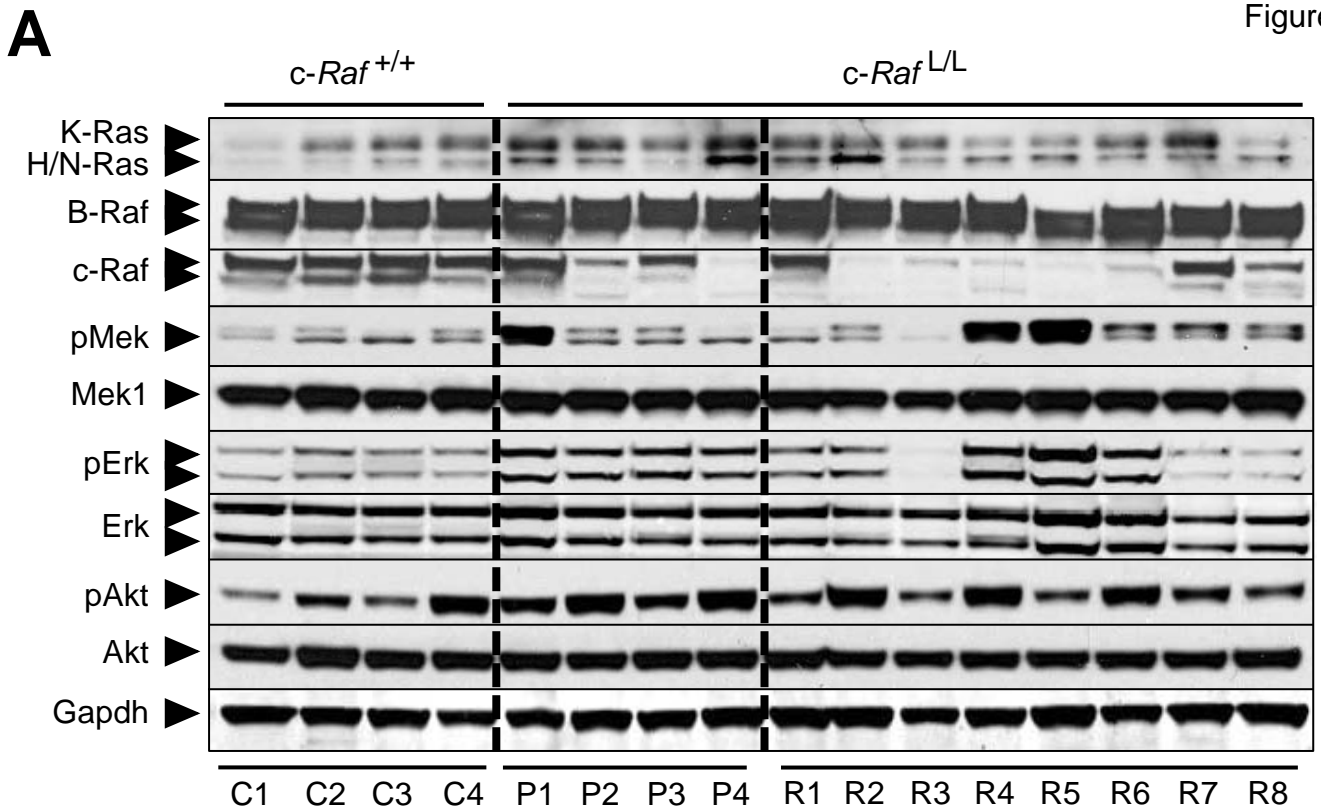
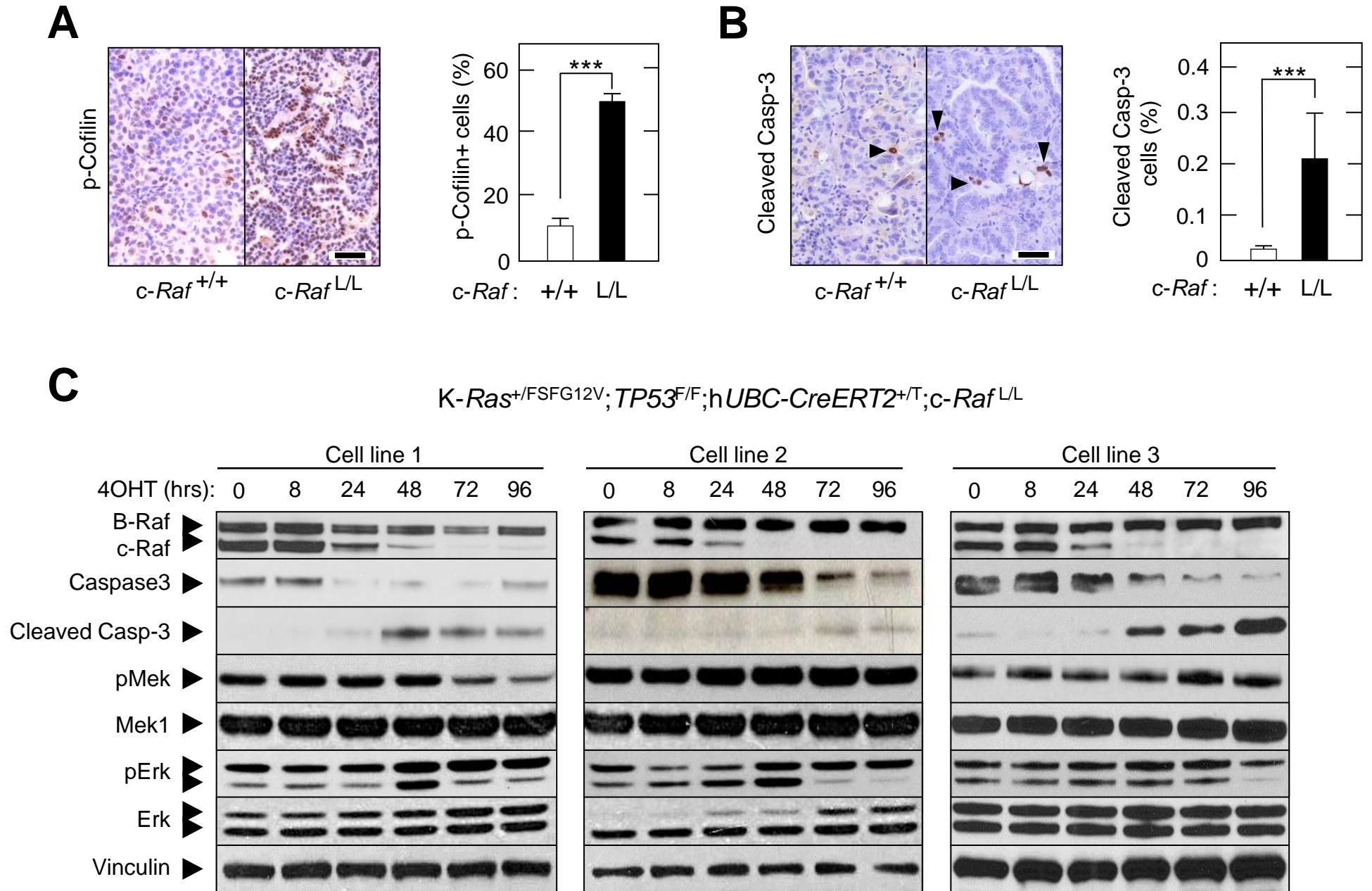


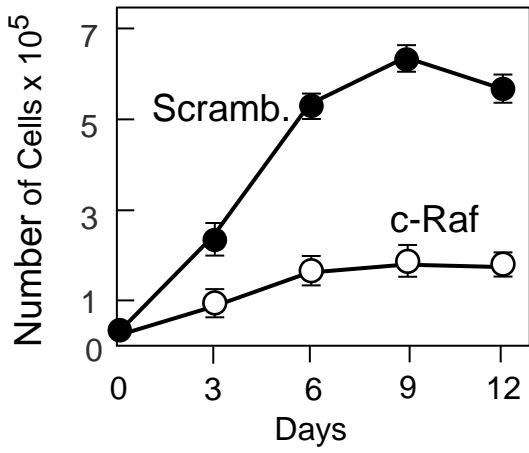
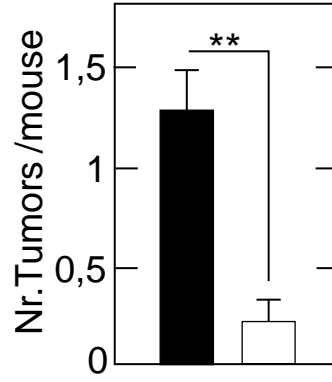
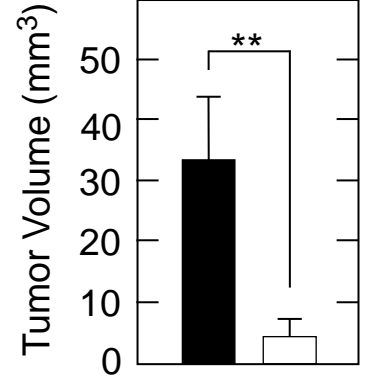
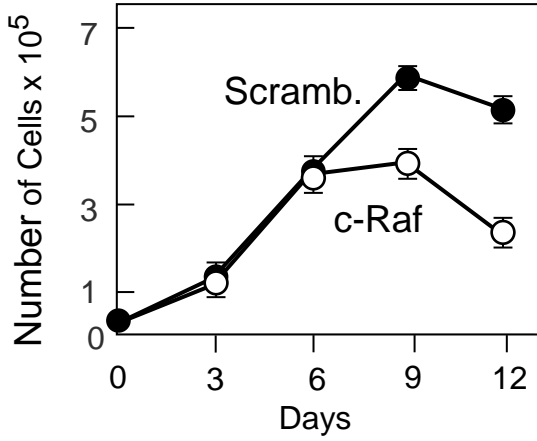
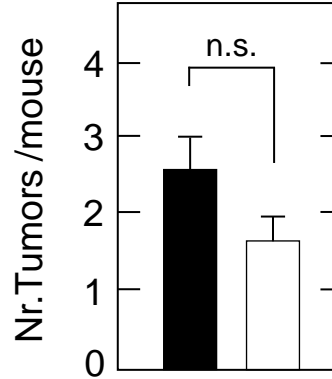
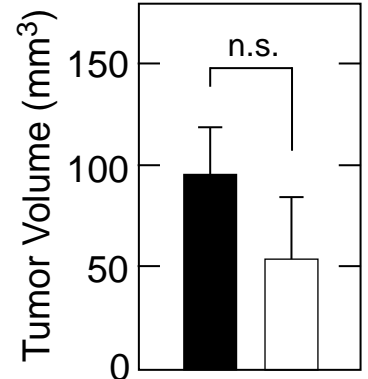
**A***K-Ras*<sup>+/FSFG12V</sup>;*c-Raf*<sup>+/+</sup>*K-Ras*<sup>+/FSFG12V</sup>;*c-Raf*<sup>L/L</sup>**B***K-Ras*<sup>+/FSFG12V</sup>;*TP53*<sup>F/F</sup>;*c-Raf*<sup>+/+</sup>*K-Ras*<sup>+/FSFG12V</sup>;*TP53*<sup>F/F</sup>;*c-Raf*<sup>L/L</sup>**C**

	<i>K-Ras</i> <sup>+/FSFG12V</sup>		<i>K-Ras</i> <sup>+/FSFG12V</sup> ; <i>TP53</i> <sup>F/F</sup>	
	<i>c-Raf</i> <sup>+/+</sup>	<i>c-Raf</i> <sup>L/L</sup>	<i>c-Raf</i> <sup>+/+</sup>	<i>c-Raf</i> <sup>L/L</sup>
CT+ Tumors analyzed	35	42	54	94
Partial regression	0	12 (29%)	0	65 (69%)
Complete regression	0	14 (33%)	0	9 (10%)
<i>De novo</i> CT+ tumors	67	9	44	7







**A****B****C****D****E****F****G**